

発生ガス、埋立地内部温度のモニタリング結果

測定地点：埋立地・第1区画(No.C20ガス抜き管)

項目	単位	調査年月日				分析方法	
		令和5年度 第1四半期 5月17日	令和5年度 第2四半期 8月3日	令和5年度 第3四半期 11月6日	令和5年度 第4四半期 2月19日		
発生ガス量	mL/min	10未満	10未満	10未満	10未満	石鹼膜流量計による	
ガス温度	℃	23.9	27.8	21.5	15.0	熱電対温度計による	
気温	℃	23.9	32.0	24.2	17.2	アスマン通風乾湿計による	
埋立地 内部温度 (深度)	℃	24.0 (-1.0 m)	28.0 (-1.0 m)	21.7 (-1.0 m)	15.2 (-1.0 m)	熱電対温度計による	
		24.2 (-2.0 m)	27.3 (-2.0 m)	21.8 (-2.0 m)	15.0 (-2.0 m)		
		23.7 (-3.0 m)	27.2 (-3.0 m)	21.8 (-3.0 m)	14.9 (-3.0 m)		
		23.6 (-4.0 m)	27.1 (-4.0 m)	21.8 (-4.0 m)	14.9 (-4.0 m)		
		23.5 (-5.0 m)	26.8 (-5.0 m)	21.8 (-5.0 m)	14.9 (-5.0 m)		
		23.3 (-6.0 m)	26.7 (-6.0 m)	22.1 (-6.0 m)	14.8 (-6.0 m)		
		23.3 (-7.0 m)	26.3 (-7.0 m)	22.2 (-7.0 m)	14.8 (-7.0 m)		
		23.2 (-8.0 m)	26.1 (-8.0 m)	22.3 (-8.0 m)	14.8 (-8.0 m)		
		22.9 (-9.0 m)	26.0 (-9.0 m)	22.3 (-9.0 m)	14.8 (-9.0 m)		
		22.9 (-10.0 m)	25.7 (-10.0 m)	22.3 (-10.0 m)	14.8 (-10.0 m)		
		22.8 (-11.0 m)	25.6 (-11.0 m)	22.3 (-11.0 m)	14.7 (-11.0 m)		
		22.7 (-12.0 m)	25.6 (-12.0 m)	22.3 (-12.0 m)	14.7 (-12.0 m)		
		22.7 (-13.0 m)	25.6 (-13.0 m)	22.4 (-13.0 m)	14.7 (-13.0 m)		
		22.6 (-14.0 m)	25.6 (-14.0 m)	22.4 (-14.0 m)	14.7 (-14.0 m)		
		22.6 (-15.0 m)	25.5 (-15.0 m)	22.5 (-15.0 m)	14.8 (-15.0 m)		
気圧	hPa	1004	1002	1013	1017	アネロイド式気圧計による	
メタン	%	0.1未満	0.1未満	0.1未満	0.1未満	ガスクロマトグラフ(TCD)法による	
二酸化炭素	%	0.1未満	0.1未満	0.1未満	0.1未満	ガスクロマトグラフ(TCD)法による	
アンモニア	ppm	0.2未満	0.2未満	0.2未満	0.2未満	検知管法による	
硫化水素	ppm	0.001未満	0.001未満	0.001未満	0.001未満	ガスクロマトグラフ(FPD)法による	
酸素	%	20.3	19.9	19.9	20.8	ガスクロマトグラフ(TCD)法による	



発生ガス、埋立地内部温度のモニタリング結果

測定地点：埋立地・第2区画(No.C29ガス抜き管)

項目	単位	調査年月日				分析方法	
		令和5年度 第1四半期 5月17日	令和5年度 第2四半期 8月3日	令和5年度 第3四半期 11月6日	令和5年度 第4四半期 2月19日		
発生ガス量	mL/min	10未満	10未満	10未満	10未満	石鹸膜流量計による	
ガス温度	℃	24.1	28.5	25.2	16.5	熱電対温度計による	
気温	℃	24.6	32.2	23.8	17.1	アスマン通風乾湿計による	
埋立地 内部温度 (深度)	℃	24.1 (-1.0 m)	28.7 (-1.0 m)	25.4 (-1.0 m)	16.5 (-1.0 m)	熱電対温度計による	
		25.4 (-2.0 m)	28.7 (-2.0 m)	25.4 (-2.0 m)	16.7 (-2.0 m)		
		26.5 (-3.0 m)	28.7 (-3.0 m)	25.5 (-3.0 m)	17.0 (-3.0 m)		
		26.4 (-4.0 m)	29.1 (-4.0 m)	25.7 (-4.0 m)	17.2 (-4.0 m)		
		26.4 (-5.0 m)	29.3 (-5.0 m)	26.0 (-5.0 m)	18.5 (-5.0 m)		
		26.3 (-6.0 m)	29.7 (-6.0 m)	26.1 (-6.0 m)	19.0 (-6.0 m)		
		26.4 (-7.0 m)	29.4 (-7.0 m)	26.1 (-7.0 m)	19.0 (-7.0 m)		
		26.4 (-8.0 m)	29.3 (-8.0 m)	26.2 (-8.0 m)	19.0 (-8.0 m)		
		26.2 (-9.0 m)	29.2 (-9.0 m)	26.2 (-9.0 m)	19.2 (-9.0 m)		
		26.2 (-10.0 m)	29.1 (-10.0 m)	26.2 (-10.0 m)	19.5 (-10.0 m)		
		26.2 (-11.0 m)	29.0 (-11.0 m)	26.4 (-11.0 m)	19.8 (-11.0 m)		
		26.1 (-12.0 m)	28.9 (-12.0 m)	26.4 (-12.0 m)	20.0 (-12.0 m)		
		26.1 (-13.0 m)	28.9 (-13.0 m)	26.4 (-13.0 m)	20.2 (-13.0 m)		
		26.1 (-14.0 m)	28.9 (-14.0 m)	26.2 (-14.0 m)	20.3 (-14.0 m)		
		26.2 (-15.0 m)	28.9 (-15.0 m)	26.0 (-15.0 m)	20.5 (-15.0 m)		
		26.2 (-16.0 m)	28.8 (-16.0 m)	26.0 (-16.0 m)	20.4 (-16.0 m)		
		26.2 (-17.0 m)	28.8 (-17.0 m)	26.1 (-17.0 m)	20.3 (-17.0 m)		
		気圧	hPa	1004	1002		1012
メタン	%	0.1未満	0.1未満	0.1未満	0.1未満	ガスクロマトグラフ(TCD)法による	
二酸化炭素	%	0.2	0.3	0.3	0.4	ガスクロマトグラフ(TCD)法による	
アンモニア	ppm	0.2未満	0.2未満	0.2未満	0.2未満	検知管法による	
硫化水素	ppm	0.001未満	0.001未満	0.001未満	0.001未満	ガスクロマトグラフ(FPD)法による	
酸素	%	20.0	19.2	19.2	19.8	ガスクロマトグラフ(TCD)法による	



発生ガス、埋立地内部温度のモニタリング結果

測定地点：埋立地・第3区画(No.C43ガス抜き管)

項目	単位	調査年月日				分析方法
		令和5年度 第1四半期 5月17日	令和5年度 第2四半期 8月3日	令和5年度 第3四半期 11月6日	令和5年度 第4四半期 2月19日	
発生ガス量	mL/min	10未満	10未満	10未満	10未満	石鹼膜流量計による
ガス温度	℃	35.4	35.1	38.2	34.9	熱電対温度計による
気温	℃	25.1	32.7	22.9	17.2	アスマン通風乾湿計による
埋立地 内部温度	℃	35.6 (-1.0 m)	35.3 (-1.0 m)	38.4 (-1.0 m)	35.2 (-1.0 m)	熱電対温度計による
		35.5 (-2.0 m)	35.3 (-2.0 m)	38.5 (-2.0 m)	36.6 (-2.0 m)	
		38.8 (-3.0 m)	35.6 (-3.0 m)	38.2 (-3.0 m)	36.2 (-3.0 m)	
		39.1 (-4.0 m)	36.1 (-4.0 m)	37.3 (-4.0 m)	35.1 (-4.0 m)	
		39.4 (-5.0 m)	36.9 (-5.0 m)	37.0 (-5.0 m)	34.1 (-5.0 m)	
		39.0 (-6.0 m)	38.3 (-6.0 m)	36.0 (-6.0 m)	33.5 (-6.0 m)	
		38.5 (-7.0 m)	38.7 (-7.0 m)	35.9 (-7.0 m)	33.5 (-7.0 m)	
		38.0 (-8.0 m)	38.7 (-8.0 m)	35.9 (-8.0 m)	33.2 (-8.0 m)	
		(深度)				
気圧	hPa	1004	1002	1011	1015	アネロイド式気圧計による
メタン	%	0.1未満	0.1未満	0.1未満	0.1未満	ガスクロマトグラフ(TCD)法による
二酸化炭素	%	1.1	1.5	1.6	1.4	ガスクロマトグラフ(TCD)法による
アンモニア	ppm	0.2未満	0.2未満	0.2未満	0.2未満	検知管法による
硫化水素	ppm	0.001未満	0.001未満	0.014	0.001未満	ガスクロマトグラフ(FPD)法による
酸素	%	17.9	16.7	16.5	17.5	ガスクロマトグラフ(TCD)法による



発生ガス、埋立地内部温度のモニタリング結果

測定地点：埋立地・第4区画(No.C51ガス抜き管)

項目	単位	調査年月日				分析方法	
		令和5年度 第1四半期 5月17日	令和5年度 第2四半期 8月3日	令和5年度 第3四半期 11月6日	令和5年度 第4四半期 2月19日		
発生ガス量	mL/min	10未満	10未満	10未満	10未満	石鹼膜流量計による	
ガス温度	℃	34.5	33.2	30.1	25.1	熱電対温度計による	
気温	℃	25.4	33.0	23.5	17.5	アスマン通風乾湿計による	
埋立地 内部温度 (深度)	℃	34.8 (-1.0 m)	33.4 (-1.0 m)	30.2 (-1.0 m)	25.3 (-1.0 m)	熱電対温度計による	
		36.4 (-2.0 m)	33.2 (-2.0 m)	30.2 (-2.0 m)	25.1 (-2.0 m)		
		33.1 (-3.0 m)	30.6 (-3.0 m)	31.5 (-3.0 m)	25.0 (-3.0 m)		
		32.0 (-4.0 m)	30.0 (-4.0 m)	31.5 (-4.0 m)	23.9 (-4.0 m)		
		30.5 (-5.0 m)	29.0 (-5.0 m)	31.5 (-5.0 m)	22.9 (-5.0 m)		
		28.6 (-6.0 m)	28.7 (-6.0 m)	31.5 (-6.0 m)	22.0 (-6.0 m)		
		26.6 (-7.0 m)	28.5 (-7.0 m)	31.5 (-7.0 m)	21.7 (-7.0 m)		
		25.9 (-8.0 m)	27.7 (-8.0 m)	31.5 (-8.0 m)	21.7 (-8.0 m)		
		25.6 (-9.0 m)	27.6 (-9.0 m)	31.5 (-9.0 m)	21.3 (-9.0 m)		
		25.4 (-10.0 m)	27.3 (-10.0 m)	31.5 (-10.0 m)	20.9 (-10.0 m)		
		25.2 (-11.0 m)	27.1 (-11.0 m)	31.5 (-11.0 m)	20.8 (-11.0 m)		
		24.4 (-12.0 m)	27.1 (-12.0 m)	31.5 (-12.0 m)	20.7 (-12.0 m)		
		23.8 (-13.0 m)	26.6 (-13.0 m)	31.4 (-13.0 m)	20.7 (-13.0 m)		
		23.8 (-14.0 m)	26.2 (-14.0 m)	31.4 (-14.0 m)	20.5 (-14.0 m)		
		23.7 (-15.0 m)	26.0 (-15.0 m)	31.5 (-15.0 m)	21.1 (-15.0 m)		
		23.7 (-16.0 m)	26.0 (-16.0 m)	31.7 (-16.0 m)	21.3 (-16.0 m)		
気圧	hPa	1003	1001	1011	1015	アネロイド式気圧計による	
メタン	%	0.1未満	0.1未満	0.1未満	0.1未満	ガスクロマトグラフ(TCD)法による	
二酸化炭素	%	0.3	0.2	0.5	0.3	ガスクロマトグラフ(TCD)法による	
アンモニア	ppm	0.2未満	0.2未満	0.2未満	0.2未満	検知管法による	
硫化水素	ppm	0.001未満	0.001未満	0.001未満	0.001	ガスクロマトグラフ(FPD)法による	
酸素	%	19.9	19.6	19.0	20.2	ガスクロマトグラフ(TCD)法による	



発生ガス、埋立地内部温度のモニタリング結果

測定地点：埋立地・第5区画(No.C57ガス抜き管)

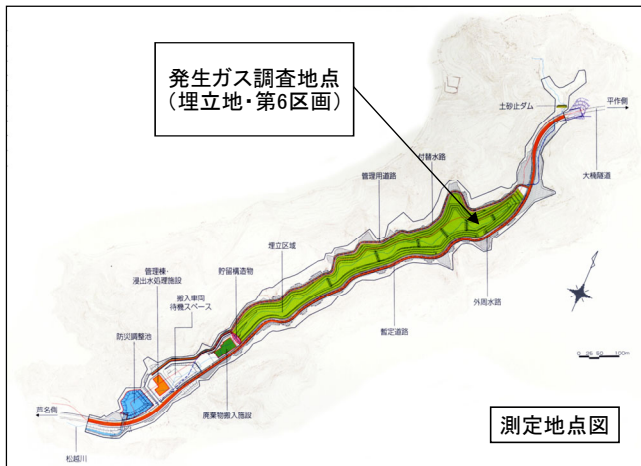
項目	単位	調査年月日				分析方法
		令和5年度 第1四半期 5月17日	令和5年度 第2四半期 8月3日	令和5年度 第3四半期 11月6日	令和5年度 第4四半期 2月19日	
発生ガス量	mL/min	10未満	10未満	10未満	10未満	石鹼膜流量計による
ガス温度	℃	24.5	28.4	24.8	13.8	熱電対温度計による
気温	℃	26.1	32.6	23.6	17.5	アスマン通風乾湿計による
埋立地 内部温度 (深度)	℃	24.7 (-1.0 m)	28.5 (-1.0 m)	24.9 (-1.0 m)	13.8 (-1.0 m)	熱電対温度計による
		25.5 (-2.0 m)	28.3 (-2.0 m)	24.6 (-2.0 m)	14.1 (-2.0 m)	
		24.8 (-3.0 m)	28.0 (-3.0 m)	24.5 (-3.0 m)	14.4 (-3.0 m)	
		23.9 (-4.0 m)	27.9 (-4.0 m)	24.3 (-4.0 m)	14.7 (-4.0 m)	
		23.7 (-5.0 m)	28.5 (-5.0 m)	24.2 (-5.0 m)	15.2 (-5.0 m)	
気圧	hPa	1003	1001	1011	1015	アネロイド式気圧計による
メタン	%	0.1未満	0.1未満	0.1未満	0.1未満	ガスクロマトグラフ(TCD)法による
二酸化炭素	%	0.9	0.5	0.2	0.1未満	ガスクロマトグラフ(TCD)法による
アンモニア	ppm	0.2未満	0.2未満	0.2未満	0.2未満	検知管法による
硫化水素	ppm	0.001未満	0.001未満	0.001未満	0.001未満	ガスクロマトグラフ(FPD)法による
酸素	%	18.3	19.0	19.5	20.6	ガスクロマトグラフ(TCD)法による



発生ガス、埋立地内部温度のモニタリング結果

測定地点: 埋立地・第6区画(No.C58ガス抜き管)

項目	単位	調査年月日				分析方法
		令和5年度 第1四半期 5月17日	令和5年度 第2四半期 8月3日	令和5年度 第3四半期 11月6日	令和5年度 第4四半期 2月19日	
発生ガス量	mL/min	10未満	10未満	10未満	10未満	石鹼膜流量計による
ガス温度	℃	21.7	27.7	21.5	12.7	熱電対温度計による
気温	℃	26.2	32.2	23.6	17.5	アスマン通風乾湿計による
埋立地 内部温度 (深度)	℃	21.7 (-1.0 m)	27.9 (-1.0 m)	21.6 (-1.0 m)	12.7 (-1.0 m)	熱電対温度計による
		21.5 (-2.0 m)	27.7 (-2.0 m)	22.0 (-2.0 m)	14.0 (-2.0 m)	
		21.3 (-3.0 m)	27.1 (-3.0 m)	22.0 (-3.0 m)	14.4 (-3.0 m)	
		21.3 (-4.0 m)	27.3 (-4.0 m)	22.4 (-4.0 m)	14.5 (-4.0 m)	
		21.1 (-5.0 m)	27.6 (-5.0 m)	22.6 (-5.0 m)	15.0 (-5.0 m)	
気圧	hPa	1003	1001	1011	1014	アネロイド式気圧計による
メタン	%	0.1未満	0.1未満	0.1未満	0.1未満	ガスクロマトグラフ(TCD)法による
二酸化炭素	%	0.1未満	0.1未満	0.1未満	0.1未満	ガスクロマトグラフ(TCD)法による
アンモニア	ppm	0.2未満	0.2未満	0.2未満	0.2未満	検知管法による
硫化水素	ppm	0.001未満	0.001未満	0.001未満	0.001未満	ガスクロマトグラフ(FPD)法による
酸素	%	20.2	20.0	19.9	20.6	ガスクロマトグラフ(TCD)法による



発生ガス、埋立地内部温度のモニタリング結果

測定地点：埋立地・第7区画(No.C62ガス抜き管)

項目	単位	調査年月日				分析方法			
		令和5年度 第1四半期	令和5年度 第2四半期	令和5年度 第3四半期	令和5年度 第4四半期 2月19日				
発生ガス量	mL/min				10未満	石鹼膜流量計による			
ガス温度	℃				14.1	熱電対温度計による			
気温	℃				17.5	アスマン通風乾湿計による			
埋立地 内部温度 (深度)	℃				14.1 (-1.0 m)	熱電対温度計による			
					14.1 (-2.0 m)				
					14.2 (-3.0 m)				
					14.1 (-4.0 m)				
					14.0 (-5.0 m)				
		気圧	hPa					1014	アネロイド式気圧計による
		メタン	%					0.1未満	ガスクロマトグラフ(TCD)法による
二酸化炭素	%				0.1未満	ガスクロマトグラフ(TCD)法による			
アンモニア	ppm				0.2未満	検知管法による			
硫化水素	ppm				0.001未満	ガスクロマトグラフ(FPD)法による			
酸素	%				20.5	ガスクロマトグラフ(TCD)法による			

※令和5年度第4四半期より測定を開始

